

- 1) Le plutonium se situe à la **7^{ème} période** (ligne) et occupe la **6^{ème} place** dans le **bloc f** (Actinides). Il possède (au maximum) **8 électrons de valence** ($5f^6 7s^2$).
- 2) Les **six** électrons de la sous-couche **5f** sont célibataires. Par exemple, l'un d'entre eux est caractérisé par le quadruplet $\{n = 5 ; l = 3 ; m_l = 0 ; m_s = 1/2\}$ constitué respectivement des nombres quantiques principal, azimutal, magnétique et magnétique de spin.
- 3) Les deux structures sont de type *cf c* (**4 entités** par maille). Dans la structure *A*, les **8 sites tétraédriques** sont occupés alors que dans la structure *B*, les **4 sites octaédriques** sont occupés. L'électronéutralité impose la structure **A** pour **PuO₂** avec **4 motifs** par maille.
- 4) La coordinence de O^{2-} est **4** alors que celle de Pu^{4+} vaut **8**.

5) En notant a le paramètre de la maille, on a $\rho = \frac{4M_{Pu} + 8M_O}{N_A a^3}$ avec $R(O^{2-}) + R(Pu^{4+}) = \frac{a\sqrt{3}}{4}$

On obtient $a = 542 \text{ pm} \rightarrow R(Pu^{4+}) = \mathbf{94,8 \text{ pm}}$

Il semblerait que la tangence ne soit pas parfaite et/ou que les interactions déforment quelque peu les nuages électroniques. De façon générale, la définition du rayon ionique est hasardeuse ...

6) $C = \frac{4\pi(4R^3(Pu^{4+}) + 8R^3(O^{2-}))}{3a^3} = \mathbf{0,67}$ Valeur assez élevée, proche du maximum 0,74 en l'occurrence.

7) $\log K = -\frac{\Delta_r H^0}{R \ln 10} \frac{1}{T} + \frac{\Delta_r S^0}{R \ln 10}$

La pente de la droite en échelle semi log vaut $\mathbf{-6,2 \cdot 10^3 \text{ K}}$, on en déduit $\Delta_r H^0 = \mathbf{1,2 \cdot 10^5 \text{ J} \cdot \text{mol}^{-1}}$

Son ordonnée à l'origine est estimée à $\mathbf{6,0}$, on en déduit $\Delta_r S^0 = \mathbf{1,1 \cdot 10^2 \text{ J} \cdot \text{K}^{-1} \cdot \text{mol}^{-1}}$

La réaction est **endothermique** et **produit du gaz** donc $\Delta_r S^0 > 0$

8) $\Delta_r G = RT \ln\left(\frac{Q}{K}\right) = RT \ln\left(\frac{P}{P_{\text{éq}}}\right) > 0$ Le sens **indirect** \leftarrow est favorisé $\left(Q = \frac{n_{H_2} n_S P}{n_E n_{\text{total}} P^0}\right)$

9) La loi de de Van 't Hoff $\frac{d \ln K}{dT} = \frac{\Delta_r H^0}{RT^2} > 0$ indique que $K(T)$ est croissante, le sens **direct** \rightarrow est favorisé

10) Le choix d'une température relativement élevée se justifie d'un point de vue de la **thermodynamique** (avancement de la réaction) et de la **cinétique** (rapidité de la réaction).

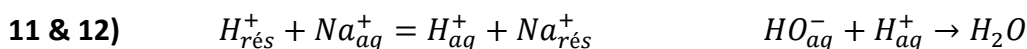
Le **coût** d'un tel choix limite évidemment la valeur de T et donc une catalyse sera toujours la bienvenue.

Travailler sous une pression atmosphérique est à la fois un choix thermodynamique et économique.

Par contre, l'excès d'eau (gaz inerte) à volume constant ne présente pas d'intérêt du point de vue de

l'avancement ($Q = \frac{n_{H_2} n_S RT}{n_E V P^0}$ indifférent à n_{eau}) alors qu'il favoriserait la réaction à pression constante

($Q = \frac{n_{H_2} n_S P}{n_E n_{\text{total}} P^0}$ diminue avec n_{eau}) ...



13) On prélève la solution de volume V_0 à l'aide d'une **pipette jaugée** puis on la verse dans un **bécher**. On place la solution d'acide chlorhydrique dans une **burette graduée**. Au cours du dosage, on mesure le *pH* grâce à une **électrode de verre** (capteur 3). Les capteurs 1, 2 et 4 sont respectivement une sonde **conductimétrique**, une électrode au **calomel saturé** de potentiel constant et une électrode de **platine** (métal inerte) permettant la mesure d'un potentiel de solution.

14) A l'équivalence, on a $n_{HO^-r} \text{ dans } V_0 = C_1 V_{\text{éq}} \rightarrow n_{HO^-r} = 2C_1 V_{\text{éq}} = 1,3 \text{ mmol}$

15) On évalue l'incertitude à l'aide d'un raisonnement **probabiliste** (type **B**) s'appuyant sur des données constructeurs (tolérance) et des incertitudes de lecture (ménisque, goutte ...): $u = \sqrt{u_{\text{const}}^2 + u_{\text{lect}}^2}$
Comme sources d'incertitudes, on pense à l'incertitude sur le volume prélevé V_0 (constructeur) et à celle concernant le volume versé à l'équivalence $V_{\text{éq}}$ (lecture).

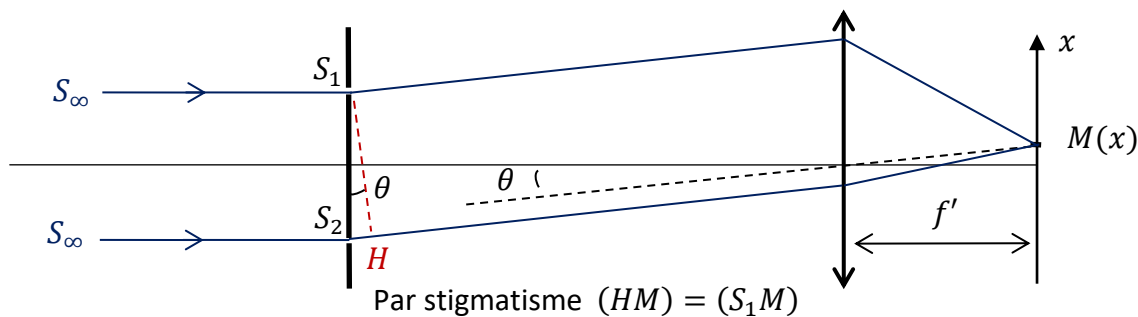
16) $n_{HO^-r} = 1,34 \text{ mmol} \pm 0,02 \text{ mmol}$ (Intervalle de confiance de 95 %)

[A cette question, nous sommes obligés d'accepter 3 chiffres significatifs ... On peut retrouver l'incertitude-

type donnée : $u(n_{HO^-r}) = n_{HO^-r} \sqrt{\frac{u_{\text{const}}^2(V_0)}{V_0^2} + \frac{u_{\text{lect}}^2(V_{\text{éq}})}{V_{\text{éq}}^2}} = n_{HO^-r} \sqrt{2 \left(\frac{0,1}{50}\right)^2 + \left(\frac{0,05}{6,7}\right)^2} = 1 \cdot 10^{-5} \text{ mol}$

17) $CE = \frac{CV - n_{HO^-r}}{m} = 2,4 \text{ mol} \cdot \text{kg}^{-1}$

18) $\delta(M) = (S_{\infty}M)_2 - (S_{\infty}M)_1 = S_{\infty}S_2 + S_2H + (HM) - S_{\infty}S_1 - (S_1M) = S_2H = a \sin \theta \sim \frac{ax}{f'}$



19) $I(M) = \frac{n}{2\mu_0 c} \underline{E} \underline{E}^* = \frac{n}{2\mu_0 c} (\underline{E}_1 + \underline{E}_2)(\underline{E}_1^* + \underline{E}_2^*) = 2(I_0 + \text{Re}(\underline{E}_1 \underline{E}_2^*)) = 2I_0(1 + \cos \Delta\Phi(M))$

Avec $\underline{E}_k(M, t) = E_0 e^{i\Phi_k(M, t)}$, $I_0 = \frac{nE_0^2}{2\mu_0 c}$ et $\Delta\Phi(M) = \Phi_1(M, t) - \Phi_2(M, t) = \frac{2\pi}{\lambda} \delta(M)$

20) L'interfrange est $\frac{f'\lambda}{a} = 1,0 \text{ mm}$

21) L'écart entre deux franges brillantes d'ordre p est $\Delta x = \frac{f'\Delta\lambda}{a} p$. Un ordre $p = 12500$ est nécessaire pour que Δx soit égal à un demi interfrange : C'est hors de portée d'un dispositif à trous d'Young.

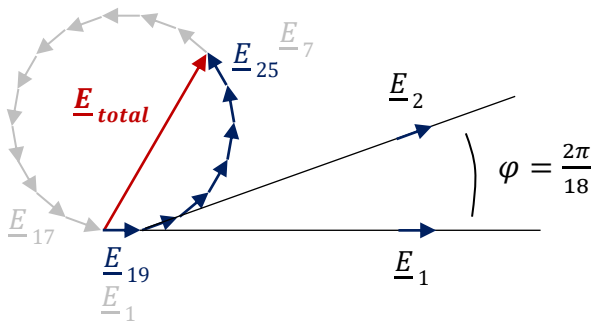
Mais le problème n'est pas là, il est en amont ! Lors d'interférences à deux ondes, le critère de Rayleigh n'est pas adapté car l'évolution de $I(M)$ n'est pas assez vive (la largeur d'un pic est égale à l'interfrange !). Ainsi, lorsque la condition de Rayleigh est vérifiée, l'éclairement est **uniforme** (brouillage, anti coïncidence)

Seule une méthode basée sur la périodicité du brouillage avec un interféromètre de Michelson permettrait de mesurer (sans l'observer) l'écart $\Delta\lambda$ à condition d'atteindre les ordres 12500, 25000, 37500 ...

Les franges seront affinées avec un interféromètre à N ondes, leur demi largeur sera divisée par N .

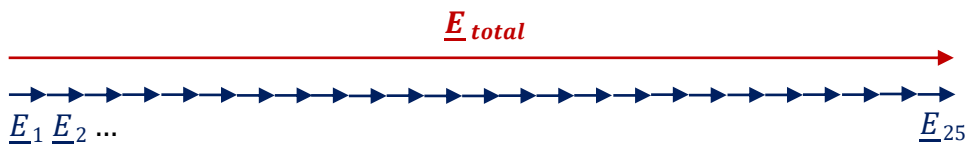
22-23) $\Delta\Phi(\theta) = \varphi(\theta) = \frac{2\pi}{\lambda} a \sin \theta$ $\underline{E}_{total} = \underline{E}_1 + \underline{E}_2 + \dots + \underline{E}_N = \underline{E}_1(1 + e^{i\varphi} + \dots + e^{(N-1)i\varphi})$

En représentation de Fresnel, φ correspond à l'angle entre \underline{E}_1 et \underline{E}_2 , entre \underline{E}_2 et \underline{E}_3 ... entre \underline{E}_k et \underline{E}_{k+1}
 Prenons par exemple $N = 25$ et dessinons la situation correspondante à un déphasage φ quelconque $\left(\frac{2\pi}{18}\right)$



Dans ce cas, les vecteurs \underline{E}_i tournent en rond, leur somme est de norme modeste, l'intensité est faible.

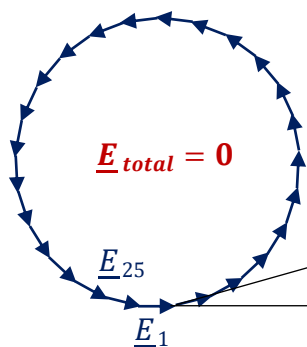
L'intensité est maximale si les champs sont alignés, en phase ($\varphi = 2p\pi$). Par exemple en $\theta_1 = \arcsin\left(\frac{\lambda}{a}\right)$



24) Avec 1800 ouvertures par millimètre, $a = 0,5556 \mu m \rightarrow \theta_1 = \arcsin\left(\frac{\lambda}{a}\right) = 1,117 \text{ rad}$ ($\sim 64^\circ$)

L'approximation de gauss n'est plus valable, la lentille de projection n'est plus un système stigmatique.

25) L'intensité est nulle si les N champs mis bout à bout décrivent un cercle ($\varphi = \frac{2\pi}{N} + 2p\pi$).



Prenons le pic d'ordre 0, $\Delta\varphi = \frac{2\pi}{N} - 0 = \frac{2\pi}{N}$ Tous les pics ont la même largeur.

En effet, si on s'intéresse au pic d'ordre 1, $\Delta\varphi = \left(\frac{2\pi}{N} + 2\pi\right) - 2\pi = \frac{2\pi}{N}$

$$\Delta\theta = \arcsin\left(\left(1 + \frac{1}{N}\right)\frac{\lambda}{a}\right) - \arcsin\left(\frac{\lambda}{a}\right) = 2 \cdot 10^{-5} \text{ rad}$$

Avec $N = 1800 * 50 = 9 \cdot 10^4$

26 & 27) $\sin \theta'_1 = \sin(\theta_1 + (\theta'_1 - \theta_1)) \sim \sin \theta_1 + (\theta'_1 - \theta_1) \cos \theta_1 \rightarrow \lambda' = \lambda + a(\theta'_1 - \theta_1) \cos \theta_1$

La condition $\theta'_1 - \theta_1 > \Delta\theta$ revient à $\lambda' - \lambda > a \cos \theta_1 \Delta\theta \rightarrow \lambda' - \lambda > 5 \text{ pm}$

La valeur inférieure à 20 pm peut s'expliquer par l'utilisation d'une longueur d'onde plus grande et une largeur l plus faible en pratique ...

28) Les deux équations intrinsèques de structure ont pour formulation intégrale $\oint \vec{B} \cdot d\vec{S}_{ext} = 0$

(le champ magnétique est à flux conservatif) et $e = \oint \vec{E} \cdot d\vec{l} = -\frac{\partial}{\partial t} \iint \vec{B} \cdot d\vec{S}$ (loi de Faraday)

c S s'appuyant sur C

Les deux équations de liaison aux sources ont pour formulation intégrale $\oint \vec{E} \cdot d\vec{S}_{ext} = \frac{Q_{int}}{\epsilon_0}$

(théorème de Gauss) et $\oint \vec{B} \cdot d\vec{l} = \mu_0 I_{par C}^{enlacé}$ (théorème d'Ampère) avec $I_{par C}^{enlacé} = \iint \vec{j} \cdot d\vec{S}$

c S s'appuyant sur C

29) La distribution est invariante par translation selon \vec{e}_y et \vec{e}_z , la norme de \vec{B}_g ne dépend que de x .

Le plan $(M, \vec{e}_x, \vec{e}_y)$ est un plan de symétrie pour la distribution $\rightarrow \vec{B}_g(x, t) = B_g(x, t) \vec{e}_z$

Le plan $x = -a - \frac{b}{2}$ est aussi un plan de symétrie pour la distribution, le champ \vec{B}_g y est nul.

D'après la loi de Maxwell-Ampère, $\frac{\partial B_g}{\partial x} = \mu_0 J(t)$ à l'intérieur de la nappe et $\frac{\partial B_g}{\partial x} = 0$ à l'extérieur.

On en déduit que $\vec{B}_g = \mu_0 J(t) \left(x + a + \frac{b}{2}\right) \vec{e}_z$ à l'intérieur et $\vec{B}_g = \pm \mu_0 J(t) \frac{b}{2} \vec{e}_z$ à l'extérieur

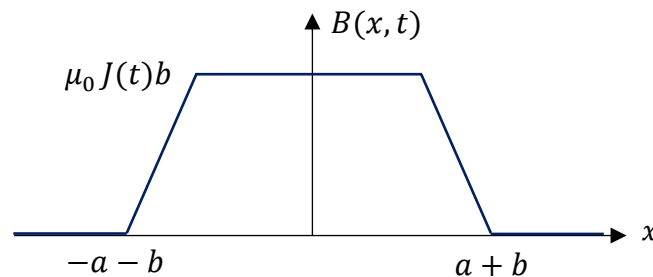
(+ côté plasma) après avoir déterminé les constantes par continuité.

[On aurait pu appliquer le théorème d'Ampère le long d'un rectangle perpendiculaire à \vec{e}_y comme dans l'exercice B du TD Magnétostatique]

30) On superpose le champ précédent avec celui produit par la lame de droite :

$\vec{B}_d = -\mu_0 J(t) \left(x - a - \frac{b}{2}\right) \vec{e}_z$ à l'intérieur et $\vec{B}_d = \pm \mu_0 J(t) \frac{b}{2} \vec{e}_z$ à l'extérieur (+ côté plasma)

	$x \leq -a - b$	$-a - b \leq x \leq -a$	$-a \leq x \leq a$	$a \leq x \leq a + b$	$a + b \leq x$
$B_g(x, t)$	$-\mu_0 J(t) \frac{b}{2}$	$\mu_0 J(t) \left(x + a + \frac{b}{2}\right)$	$\mu_0 J(t) \frac{b}{2}$	$\mu_0 J(t) \frac{b}{2}$	$\mu_0 J(t) \frac{b}{2}$
$B_d(x, t)$	$\mu_0 J(t) \frac{b}{2}$	$\mu_0 J(t) \frac{b}{2}$	$\mu_0 J(t) \frac{b}{2}$	$-\mu_0 J(t) \left(x - a - \frac{b}{2}\right)$	$-\mu_0 J(t) \frac{b}{2}$
$B(x, t)$	0	$\mu_0 J(t) (x + a + b)$	$\mu_0 J(t) b$	$-\mu_0 J(t) (x - a - b)$	0



31) Le champ magnétique dans le plasma **dépend du temps**, il existe donc un champ électrique induit.

Le plan $(M, \vec{e}_x, \vec{e}_z)$ est un plan d'antisymétrie pour la distribution $\rightarrow \vec{E}(x, t) = E(x, t) \vec{e}_y$

Le plan $x = 0$ est aussi un plan d'antisymétrie pour la distribution $\rightarrow E(x, t)$ est **impaire** selon x

32) Au courant $J(t)$ se superpose un courant **induit de même sens** (issu de \vec{E}).

Les considérations d'invariance et de symétrie précédentes (Q 29) sont toujours d'actualité.

Le plan $x = 0$ est un plan de symétrie pour $\vec{B} \rightarrow B(x, t)$ est **paire** selon x

33) D'après la loi de Maxwell-Faraday $\frac{\partial E}{\partial x} = -\frac{\partial B}{\partial t}$ et d'après la loi de Maxwell-Ampère $-\frac{\partial B}{\partial x} = \mu_0 j$

34) En dérivant la première relation par rapport à x et la deuxième par rapport à t , on obtient l'équation

$$\frac{\partial^2 E}{\partial x^2} - \frac{\mu_0 n e^2}{m} E = 0 \rightarrow \lambda = \sqrt{\frac{m}{\mu_0 n e^2}} = c \sqrt{\frac{m \epsilon_0}{n e^2}} = \frac{c}{\omega_p} \text{ Avec } \omega_p = \sqrt{\frac{n e^2}{m \epsilon_0}} \text{ (Pulsation plasma)} \rightarrow [\lambda] = L$$

$$\mathbf{35) } E(x, t) = \text{sh}\left(\frac{x}{\lambda}\right) E_0(t) \rightarrow \frac{\partial E}{\partial x} = \frac{1}{\lambda} \text{ch}\left(\frac{x}{\lambda}\right) E_0(t) \rightarrow B(x, t) = \frac{1}{\text{ch}\left(\frac{a}{\lambda}\right)} \text{ch}\left(\frac{x}{\lambda}\right) B_0(t)$$

$$\mathbf{36) } E(x, t) = -\frac{\lambda}{\text{ch}\left(\frac{a}{\lambda}\right)} \frac{dB_0}{dt} \text{sh}\left(\frac{x}{\lambda}\right) \text{ et } j(x, t) = -\frac{1}{\mu_0 \lambda \text{ch}\left(\frac{a}{\lambda}\right)} \text{sh}\left(\frac{x}{\lambda}\right) B_0(t)$$

$$37) \langle P_{vol} \rangle = \langle \vec{J} \cdot \vec{E} \rangle = \frac{1}{\mu_0 \operatorname{ch}^2\left(\frac{a}{\lambda}\right)} \operatorname{sh}^2\left(\frac{x}{\lambda}\right) \left\langle \frac{d}{dt} \left(\frac{B_0^2}{2} \right) \right\rangle = \mathbf{0} \text{ Par périodicité}$$

Ce modèle n'est pas acceptable car expérimentalement on constate que l'entretien du plasma par le bobinage est indispensable. Ce modèle sans collision était voué à l'échec dès son introduction ...

$$38 \ \& \ 39) \overrightarrow{\operatorname{rot}} \overrightarrow{\operatorname{rot}} \vec{B} = -\overrightarrow{\Delta} \vec{B} \rightarrow \mu_0 \sigma \frac{\partial B}{\partial t} = \frac{\partial^2 B}{\partial x^2} \rightarrow [\mu_0 \sigma] = T \cdot L^{-2} \rightarrow [\delta] = L$$

$$40) \underline{f}'' - \frac{2i}{\delta^2} \underline{f} = 0 \rightarrow \underline{f}(x) = A \exp\left(\frac{1+i}{\delta} x\right) + B \exp\left(-\frac{1+i}{\delta} x\right) = \frac{f_0}{\operatorname{ch}\left(\frac{1+i}{\delta} a\right)} \operatorname{ch}\left(\frac{1+i}{\delta} x\right) \text{ Par parité}$$

41) Plus la pulsation est grande, plus l'évolution spatiale est rapide. La puissance moyenne est dorénavant **non nulle** pour $|x| \geq \frac{a}{4}$ (conforme à la photo). Numériquement, on a $\delta \sim 5 \text{ mm} \rightarrow \frac{a}{\delta} \sim 2$